

Anhang

Otolithenmassen des Lachses

mg	Sacculus, li	Sacculus, re	Utriculus, li	Utriculus, re	Sacculusdifferenz	Utriculusdifferenz
1	6,964	7,23	0,141	0,119	0,266	0,022
2	10,846	11,543	0,195	0,206	0,697	0,011
3	13,406	12,921	0,187	0,165	0,485	0,022
4	9,334	9,377	0,122	0,205	0,043	0,083
5	12,832	10,916	0,19	0,189	1,916	0,001
6	10,64	11,502	0,16	0,185	0,862	0,025
7	9,131	9,179	0,123	0,135	0,048	0,012
8	10,18	9,419	0,182	0,18	0,761	0,002
9	9,408	9,628	0,174	0,194	0,220	0,020
10	9,557	10,042	0,162	0,174	0,485	0,012
11	12,433	11,518	0,198	0,235	0,915	0,037
12	13,802	12,543	0,23	0,228	1,259	0,002
13	10,103	10,535	0,16	0,205	0,432	0,045
14	11,055	9,764	0,187	0,185	1,291	0,002
15	12,446	11,307	0,157	0,18	1,139	0,023
16	12,1	10,315	0,131	0,147	1,785	0,016
17	10,676	10,17	0,165	0,154	0,506	0,011
18	9,511	10,426	0,157	0,165	0,915	0,008
19	8,976	9,011	0,165	0,149	0,035	0,016
20	9,191	9,913	0,039	0,156	0,722	0,117
21	9,945	9,539			0,406	
22	8,922	8,814	0,141	0,177	0,108	0,036
23	10,694	11,461	0,188	0,211	0,767	0,023
24	13,704	13,108	0,152	0,19	0,596	0,038
25	10,536	11,034	0,157	0,169	0,498	0,012
26	10,683	10,179	0,182	0,17	0,504	0,012
27	10,317	10,098	0,157	0,184	0,219	0,027
28	11,027	10,817	0,185	0,157	0,210	0,028
29	12,381	12,725	0,17	0,142	0,344	0,028
30	12,439	12,098	0,233	0,22	0,341	0,013
31	11,181	11,111	0,248	0,252	0,070	0,004
32	9,518	9,249	0,155	0,173	0,269	0,018
33	13,36	13,576	0,258	0,271	0,216	0,013
34	10,361	10,438	0,245	0,222	0,077	0,023
35	8,8	10,57	0,252	0,251	1,770	0,001
36	13,303	12,314	0,214	0,172	0,989	0,042
37	11,096	11,085	0,125	0,133	0,011	0,008
38	10,135	9,374	0,154	0,142	0,761	0,012
39	9,959	9,92	0,186	0,129	0,039	0,057
40	12,53	11,048	0,25	0,198	1,482	0,052
41	10,447	10,782	0,222	0,244	0,335	0,022
42	10,308	10,901	0,239	0,235	0,593	0,004
43	12,345	12,434	0,239	0,179	0,089	0,060
44	11,104	11,023	0,211	0,125	0,081	0,086
45	11,461	10,238	0,253	0,212	1,223	0,041

46	10,834	10,787	0,268	0,258	0,047	0,010
47	10,071	10,362	0,24	0,21	0,291	0,030
48	10,228	10,583	0,21	0,198	0,355	0,012
49	11,23	10,291	0,213	0,159	0,939	0,054
50	12,53	13,413	0,248	0,257	0,883	0,009
51	11,01	10,903	0,183	0,234	0,107	0,051
52	11,045	11,051	0,198	0,225	0,006	0,027
53	9,431	9,01	0,178	0,198	0,421	0,020
54	9,325	10,548	0,181	0,12	1,223	0,061

Bei der Präparation beschädigte Otolithenpaare wurden nicht gewertet

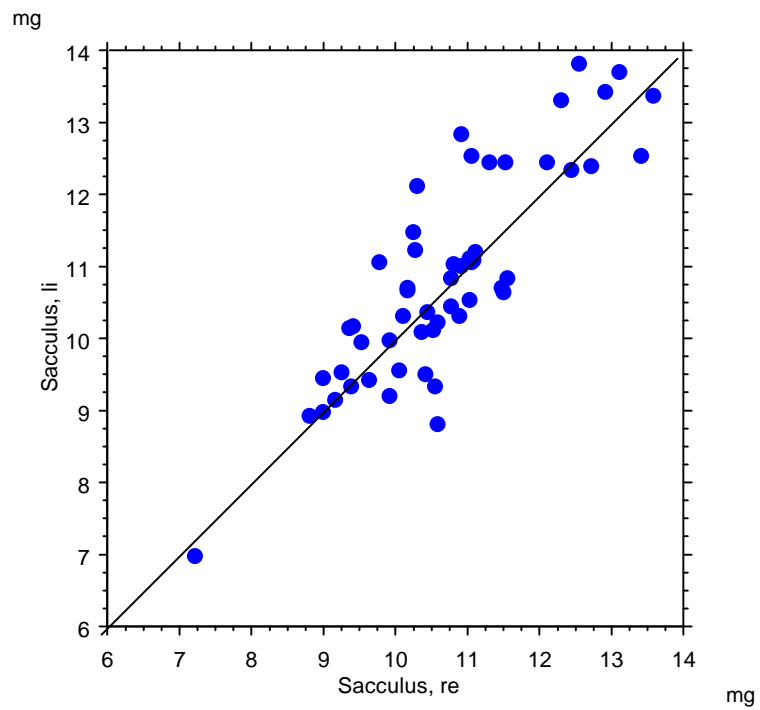


Abb.: Streudiagramm der Masse der Otolithen des Sacculus des Lachses

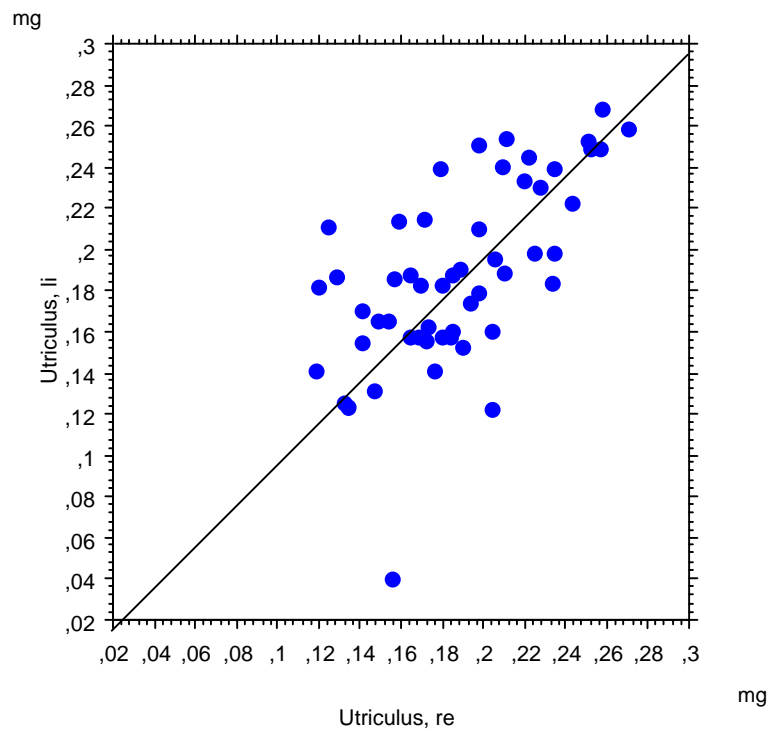


Abb.: Streudiagramm der Masse der Otolithen des Utriculus des Lachses

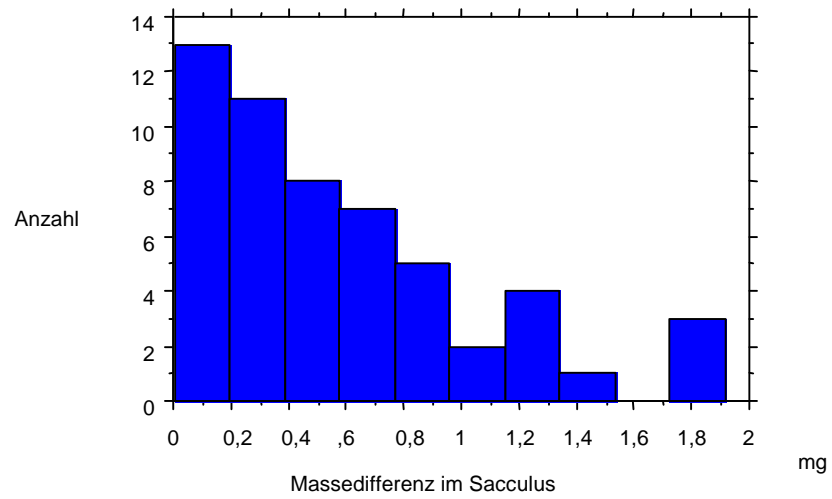


Abb.: Säulendiagramm der Differenz der Otolithenmasse im Sacculus des Lachses

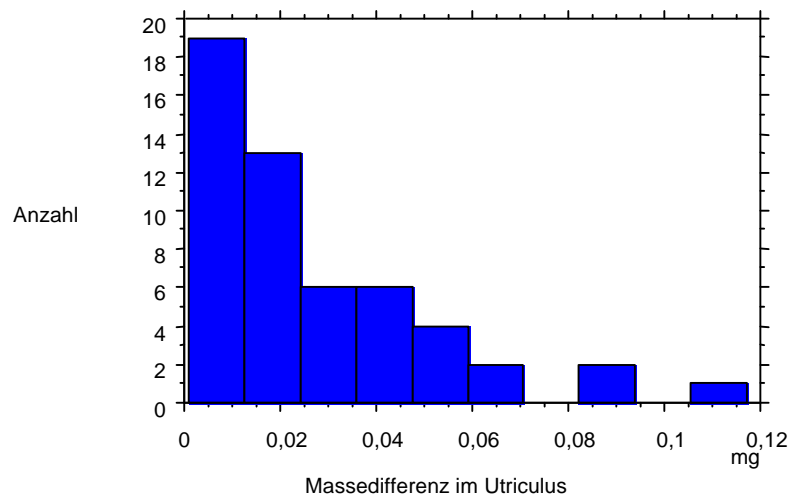


Abb.: Säulendiagramm der Differenz der Otolithenmasse im Utriculus des Lachses

Otolithenmassen der Forelle

mg	Sacculus, li	Sacculus, re	Utriculus, li	Utriculus, re	Sacculusdifferenz	Utriculusdifferenz
1	5,534	5,529	0,233	0,229	0,005	0,004
2	4,192	4,142	0,227	0,228	0,050	0,001
3	4,407	4,264	0,149	0,157	0,143	0,008
4	6,75	6,273	0,307	0,312	0,477	0,005
5	4,111	4,104	0,166	0,164	0,007	0,002
6	5,003	4,744	0,158	0,153	0,259	0,005
7	4,106	4,397	0,186	0,181	0,291	0,005
8	5,305	5,439	0,175	0,177	0,134	0,002
9	4,263	4,283	0,162	0,169	0,020	0,007
10	4,442	4,455	0,213	0,211	0,013	0,002
11	4,283	4,476	0,194	0,196	0,193	0,002
12	5,195	5,281	0,209	0,199	0,086	0,010
13	4,072	4,054	0,209	0,217	0,018	0,008
14	5,421	5,185	0,277	0,293	0,236	0,016
15	4,643	4,555	0,216	0,155	0,088	0,061
16	3,913	3,787	0,183	0,199	0,126	0,016
17	4,328	4,297	0,228	0,229	0,031	0,001
18	5,051	5,181	0,245	0,246	0,130	0,001
19	5,643	5,405	0,324	0,328	0,238	0,004
20	5,304	5,159	0,227	0,227	0,145	0,000
21	4,41	4,296	0,231	0,243	0,114	0,012
22	4,585	4,174	0,228	0,244	0,411	0,016
23	4,725	4,972	0,226	0,22	0,247	0,006
24	4,972	4,859	0,272	0,283	0,113	0,011
25	5,414	5,32	0,221	0,21	0,094	0,011
26	5,199	5,237	0,22	0,233	0,038	0,013
27	5,436	6,037	0,249	0,302	0,601	0,053
28	4,754	4,869	0,23	0,241	0,115	0,011
29	7,076	7,119	0,219	0,214	0,043	0,005
30	4,327	5,022	0,262	0,27	0,695	0,008
31	4,409	4,533	0,234	0,226	0,124	0,008
32	4,861	5,24	0,176	0,177	0,379	0,001
33	4,728	4,652	0,236	0,246	0,076	0,010
34	5,971	5,462	0,198	0,199	0,509	0,001
35	6,542	6,852	0,246	0,257	0,310	0,011
36	5,293	5,073	0,217	0,222	0,220	0,005
37	3,775	3,631	0,227	0,236	0,144	0,009
38	4,695	4,814	0,18	0,177	0,119	0,003
39	4,583	4,164	0,319	0,269	0,419	0,050
40	4,698	4,666	0,234	0,233	0,032	0,001
41	4,59	4,718	0,191	0,187	0,128	0,004
42	4,93	4,994	0,198	0,198	0,064	0,000
43	4,06	4,562	0,273	0,274	0,502	0,001
44	4,5	4,349	0,239	0,235	0,151	0,004
45	4,194	4,234	0,248	0,255	0,040	0,007
46	4,681	4,654	0,201	0,216	0,027	0,015
47	5,339	5,295	0,196	0,191	0,044	0,005

48	4,659	4,475	0,198	0,193	0,184	0,005
49	5,051	5,775	0,242	0,239	0,724	0,003
50	5,182	5,256	0,288	0,29	0,074	0,002
51	4,236	4,234	0,227	0,227	0,002	0,000
52	5,106	4,678	0,205	0,2	0,428	0,005
53	4,414	4,578	0,196	0,237	0,164	0,041
54	5,343	5,724	0,227	0,228	0,381	0,001
55	4,944	4,706	0,205	0,194	0,238	0,011
56	4,041	4,169	0,162	0,177	0,128	0,015
57	5,182	4,464	0,184	0,194	0,718	0,010
58	4,861	4,863	0,206	0,222	0,002	0,016
59	4,875	4,679	0,212	0,223	0,196	0,011
60	4,747	5,442	0,249	0,257	0,695	0,008
61	4,164	3,833	0,179	0,177	0,331	0,002
62	5,308	5,498	0,2	0,205	0,190	0,005
63	4,733	4,695	0,257	0,261	0,038	0,004
64	5,292	6,389	0,273	0,267	1,097	0,006
65	4,538	4,792	0,223	0,216	0,254	0,007
66	4,364	3,8	0,239	0,256	0,564	0,017
67	6,144	6,019	0,298	0,281	0,125	0,017
68	5,14	5,122	0,255	0,267	0,018	0,012
69	4,51	3,874	0,238	0,238	0,636	0,000
70	5,318	5,271	0,215	0,217	0,047	0,002

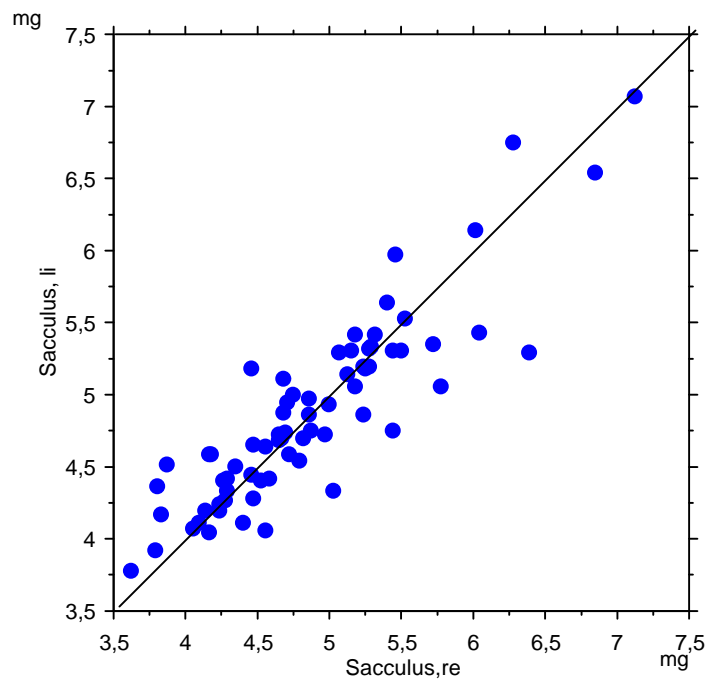


Abb.: Streudiagramm der Masse der Otolithen des Sacculus bei der Forelle

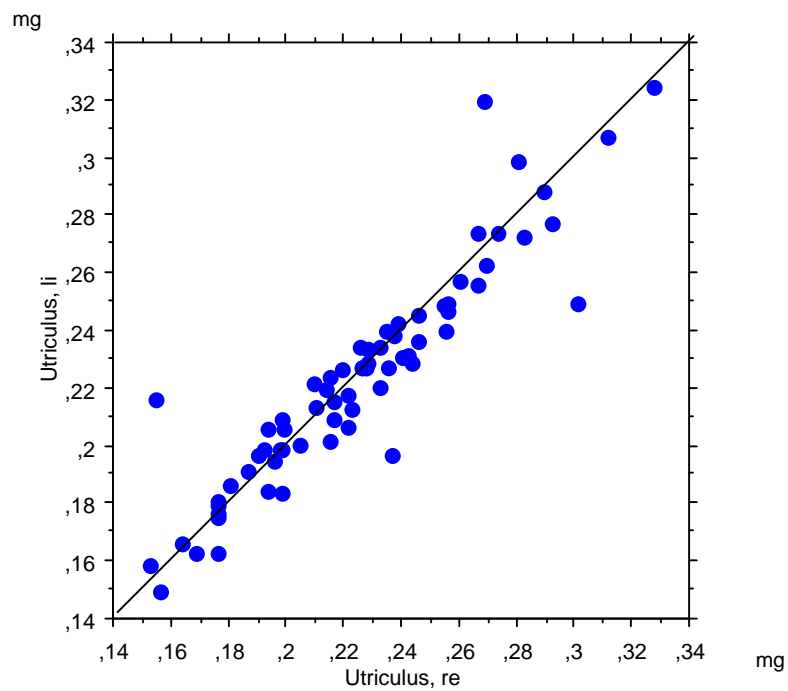


Abb.: Streudiagramm der Masse der Otolithen des Utriculus bei der Forelle

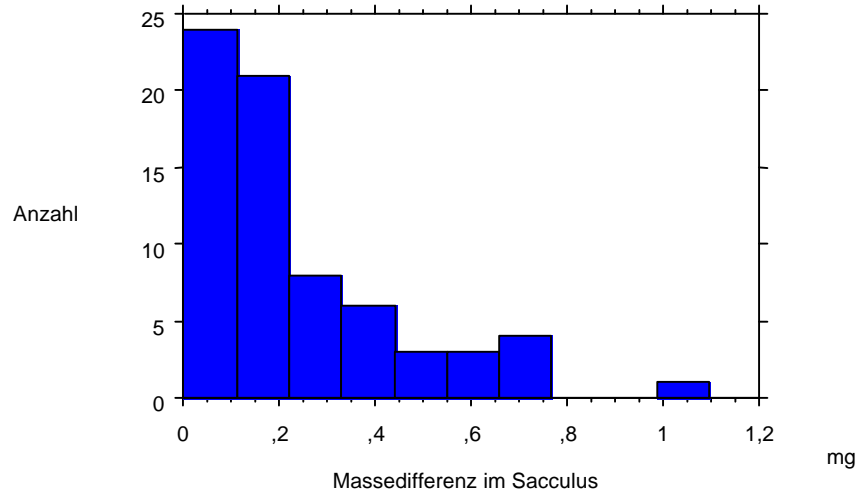


Abb.: Säulendiagramm der Differenz der Otolithenmasse im Sacculus der Forelle

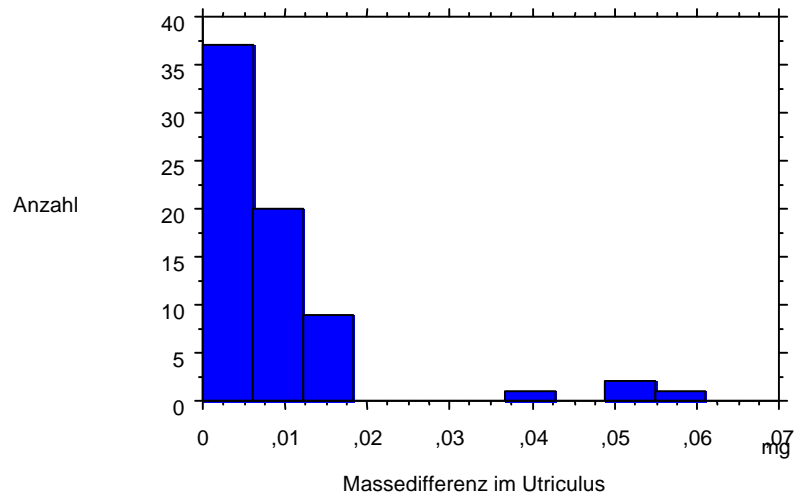


Abb.: Säulendiagramm der Differenz der Otolithenmasse im Utriculus der Forelle

Otolithenmassen der Scholle

mg	Sacculus, li	Sacculus, re	Utriculus, li	Utriculus, re	Sacculusdifferenz	Utriculusdifferenz
1	46,8	47,7	0,456	0,58	0,900	0,124
2	53,8	43,8	0,585	0,407	10,000	0,178
3	47,6	49,2	0,543	0,391	1,600	0,152
4	49,4	49,7	0,52	0,42	0,300	0,100
5	53	55,2	0,572	0,471	2,200	0,101
6	64	61,9	0,543	0,434	2,100	0,109
7	34,9	38,2	0,297	0,205	3,300	0,092
8	44,9	35,7	0,463	0,373	9,200	0,090
9	42,6	42,4	0,509	0,425	0,200	0,084
10	43	36	0,335	0,355	7,000	0,020
11	46,4	43,5	0,377	0,338	2,900	0,039
12	43,3	43,9	0,349	0,302	0,600	0,047
13	48,2	51,1	0,49	0,491	2,900	0,001
14	36,9	38,7	0,498	0,484	1,800	0,014
15	36,8	39,1	0,438	0,354	2,300	0,084
16	38,7	41	0,503	0,431	2,300	0,072
17	45,9	45,9	0,357	0,293	0,000	0,064
18	48,4	46,7	0,379	0,338	1,700	0,041
19	38,3	37	0,376	0,286	1,300	0,090
20	38,4	39,9	0,406	0,352	1,500	0,054
21	40,4	39,6	0,37	0,301	0,800	0,069
22	40,5	38,5	0,406	0,332	2,000	0,074
23	56,9	56,9	0,695	0,568	0,000	0,127
24	20,9	35,9	0,592	0,511	15,000	0,081
25	32,3	31,8	0,478	0,415	0,500	0,063
26	35	34,3	0,43	0,341	0,700	0,089
27	32,6	32,3	0,299	0,249	0,300	0,050
28	37,9	36,7	0,352	0,304	1,200	0,048
29	38,3	37,4	0,424	0,383	0,900	0,041
30	54,3	60,2	0,584	0,532	5,900	0,052
31	32,9	30,4	0,37	0,334	2,500	0,036
32	63,5	60,6	0,651	0,524	2,900	0,127
33	47,3	48,3	0,716	0,615	1,000	0,101
34	87,1	87,5	0,649	0,548	0,400	0,101
35	48	50,7	0,552	0,516	2,700	0,036
36	52,4	61,1	0,681	0,582	8,700	0,099
37	58,2	56,3	0,632	0,55	1,900	0,082
38	58	54,7	0,542	0,341	3,300	0,201
39	66,9	63,7	0,856	0,688	3,200	0,168

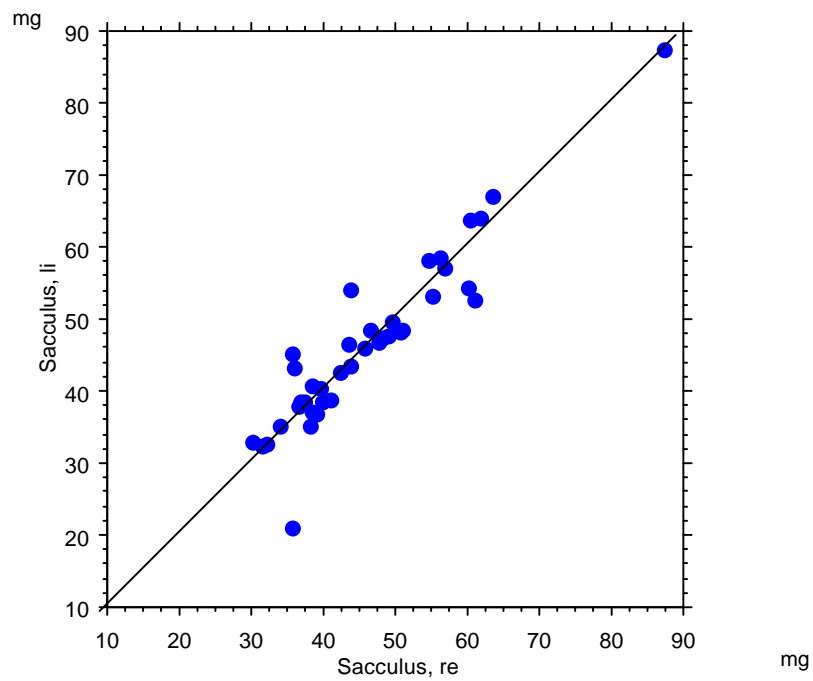


Abb.: Streudiagramm der Masse der Otolithen des Sacculus bei der Scholle

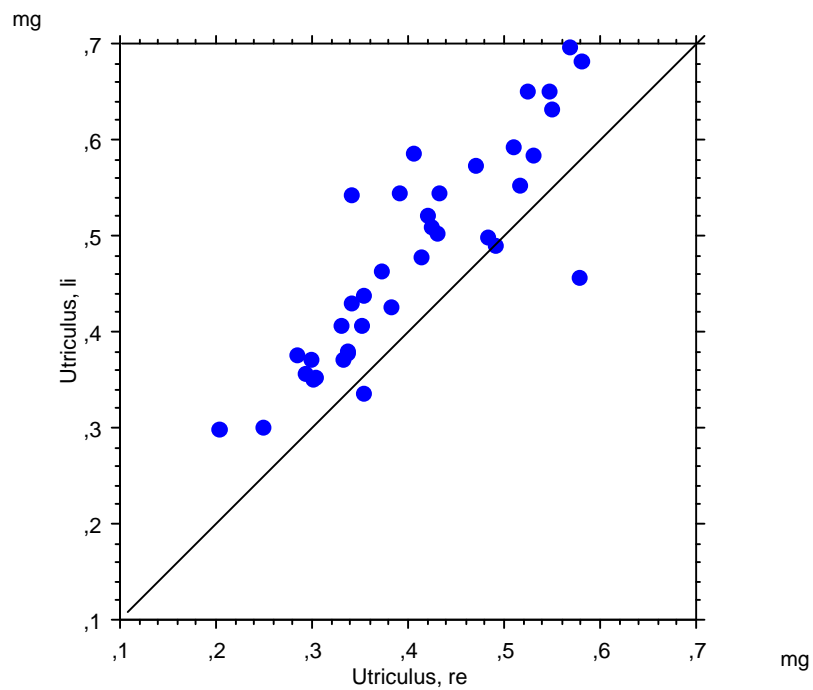


Abb.: Streudiagramm der Masse der Otolithen des Utriculus bei der Scholle

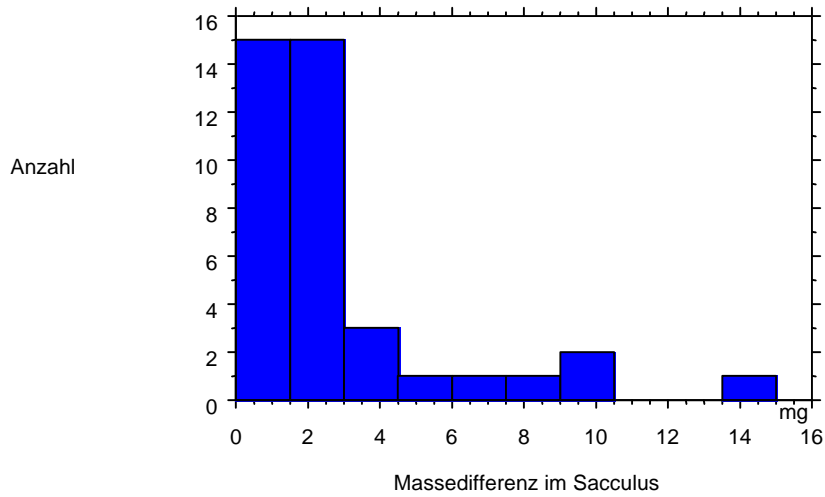


Abb.: Säulendiagramm der Differenz der Otolithenmasse im Sacculus der Scholle

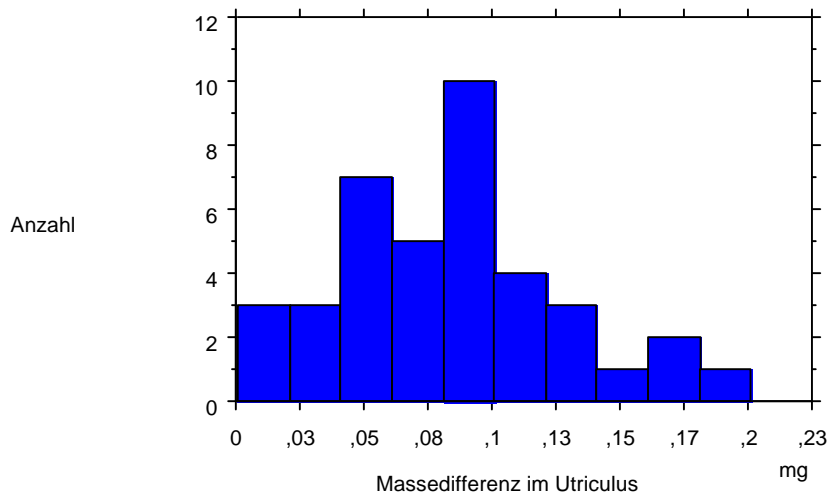


Abb.: Säulendiagramm der Differenz der Otolithenmasse im Utriculus der Scholle

Otolithenmassen des Schwerträgers

mg	Sacculus, li	Sacculus, re	Utriculus, li	Utriculus, re	Sacculusdifferenz	Utriculusdifferenz
1	1,316	0,832	0,076	0,038	0,484	0,038
2	0,740	0,664	0,016	0,040	0,076	0,024
3	0,564	0,599	0,035	0,018	0,035	0,017
4	0,826	0,769	0,063	0,058	0,057	0,005
5	0,863	0,862	0,061	0,057	0,001	0,004
6	1,185	1,184	0,065	0,066	0,001	0,001
7	1,694	1,687	0,115	0,127	0,007	0,012
8	0,707	0,683	0,050	0,051	0,026	0,001
9	1,109	1,110	0,075	0,075	0,001	0,000
10	0,964	0,938	0,043	0,043	0,024	0,000
11	1,210	1,248	0,076	0,078	0,038	0,002
12	1,201	1,189	0,078	0,079	0,012	0,001
13	1,264	1,246	0,036	0,036	0,018	0,000
14	1,325	1,325	0,053	0,051	0,000	0,002
15	0,670	0,675	0,064	0,062	0,005	0,002
16	1,005	1,012	0,073	0,075	0,007	0,002
17	1,087	1,131	0,058	0,058	0,016	0,000
18	0,735	0,739	0,071	0,072	0,044	0,001
19	0,859	0,964			0,105	
20	0,977	0,960			0,017	
21	2,073	2,019	0,107	0,108	0,054	0,001
22	0,878	0,870	0,066	0,067	0,008	0,001

Bei der Präparation beschädigte Otolithenpaare wurden nicht gewertet

Die mit 1 bis 3 gekennzeichneten Schwerträger zeigten während der Drehstuhlprüfung ein kinetosepositives Schwimmverhalten, alle anderen ein kinetosenegatives Schwimmverhalten.

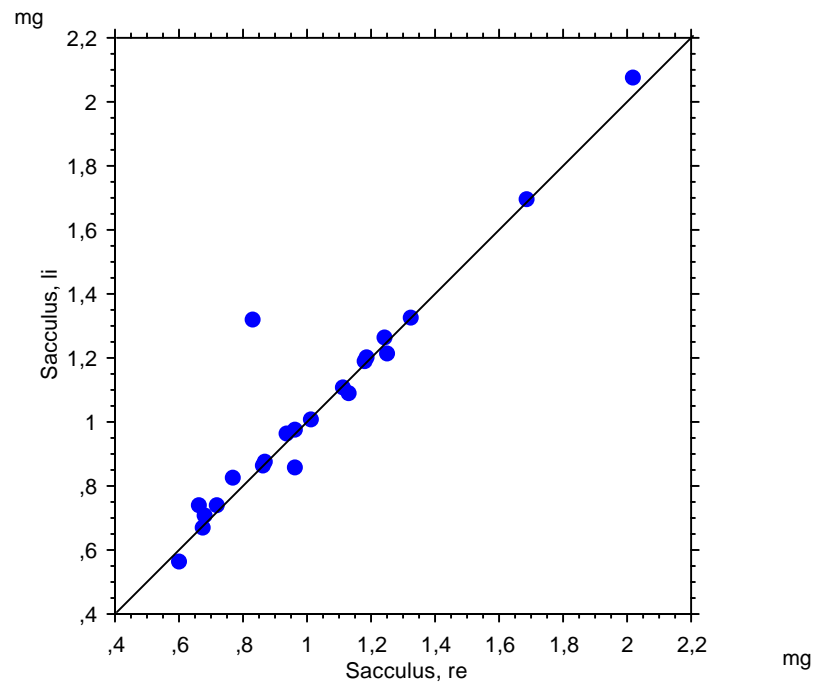


Abb.: Streudiagramm der Masse der Otolithen des Sacculus beim Schwerträger

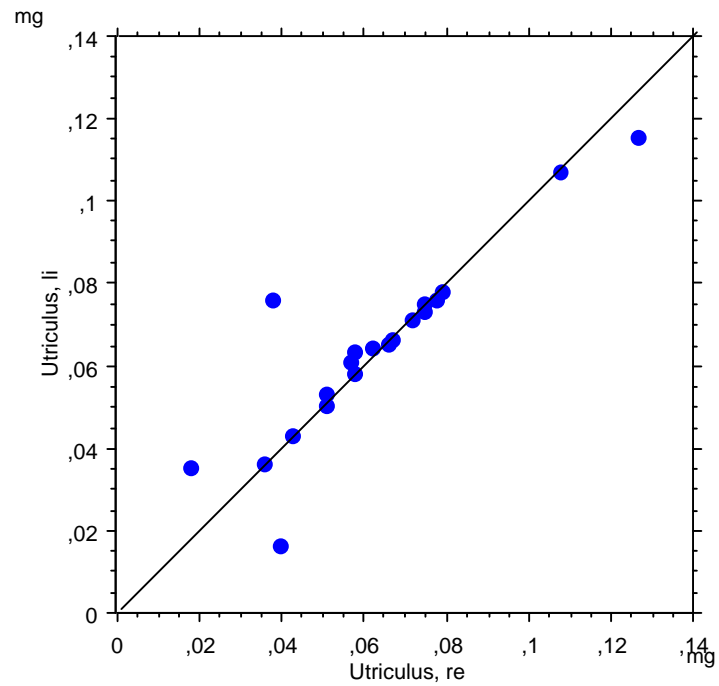


Abb.: Streudiagramm der Masse der Otolithen des Utriculus beim Schwerträger

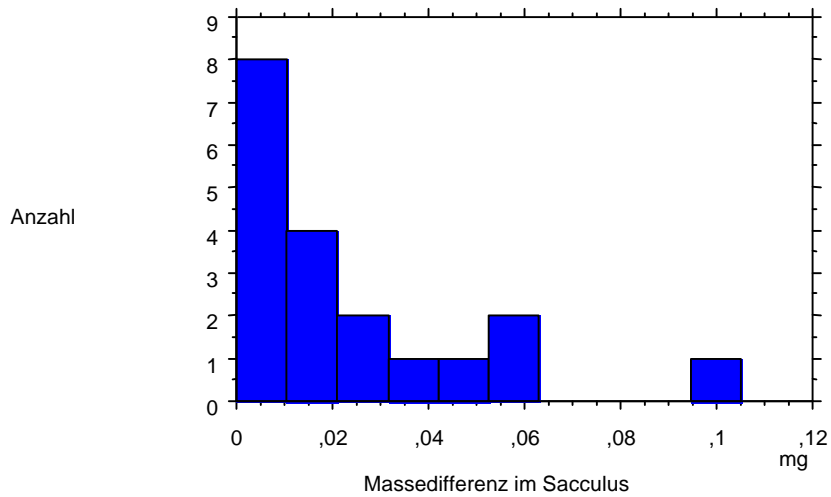


Abb.: Säulendiagramm der Differenz der Otolithenmasse im Sacculus des Schwerträgers

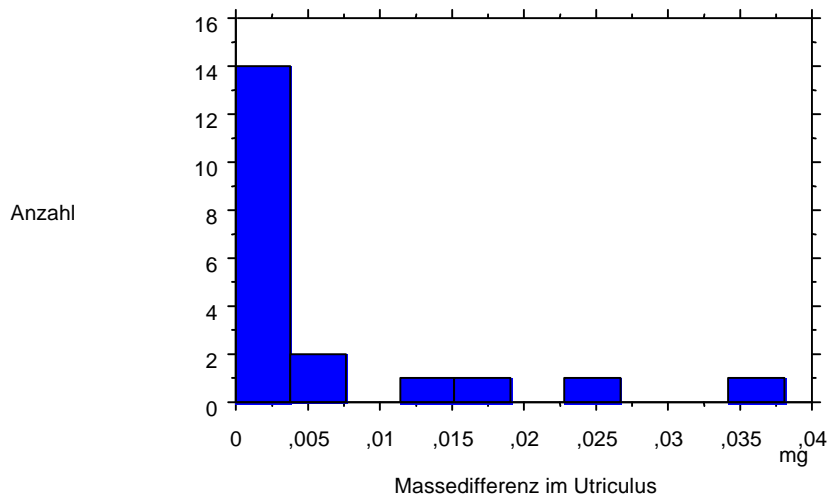


Abb.: Säulendiagramm der Differenz der Otolithenmasse im Utriculus des Schwerträgers

Otolithenmassen der Sumatrabarben

mg	Sacculus, li	Sacculus, re	Utriculus, li	Utriculus, re	Sacculusdifferenz	Utriculusdifferenz
1	0,335	0,326	0,258	0,178	0,009	,080
2	0,418	0,399	0,216	0,292	0,019	,076
3	0,318	0,350	0,202	0,254	0,032	,052
4	0,284	0,262	0,253	0,253	0,022	0,000
5	0,512	0,460	0,282	0,273	0,052	,009
6	0,314	0,297	0,228	0,241	0,017	,013
7	0,205	0,206	0,232	0,224	0,001	,008
8	0,396	0,403	0,369	0,380	0,007	,011
9	0,307	0,315	0,310	0,303	0,008	,007
10	0,311	0,323	0,303	0,288	0,012	,015
11	0,275	0,305	0,182	0,192	0,030	,010
12	0,238	0,253	0,242	0,236	0,015	,006
13	0,353	0,358	0,270	0,277	0,005	,007
14	0,350	0,262	0,271	0,269	0,088	,002
15	0,314	0,297	0,268	0,274	0,006	,017
16	0,230	0,322	0,232	0,234	0,002	,002
17	0,396	0,403	0,369	0,380	0,011	,007
18	0,315	0,307	0,284	0,278	0,006	,008
19	0,311	0,323	0,303	0,288	0,015	,012
20	0,275	0,305	0,182	0,192	0,010	,030
21	0,238	0,253	0,262	0,270	0,008	,015

Die mit 1 bis 3 gekennzeichneten Sumatrabarben zeigten während der Drehstuhlprüfung ein kinetosepositives Schwimmverhalten, alle anderen ein kinetosenegatives Schwimmverhalten.

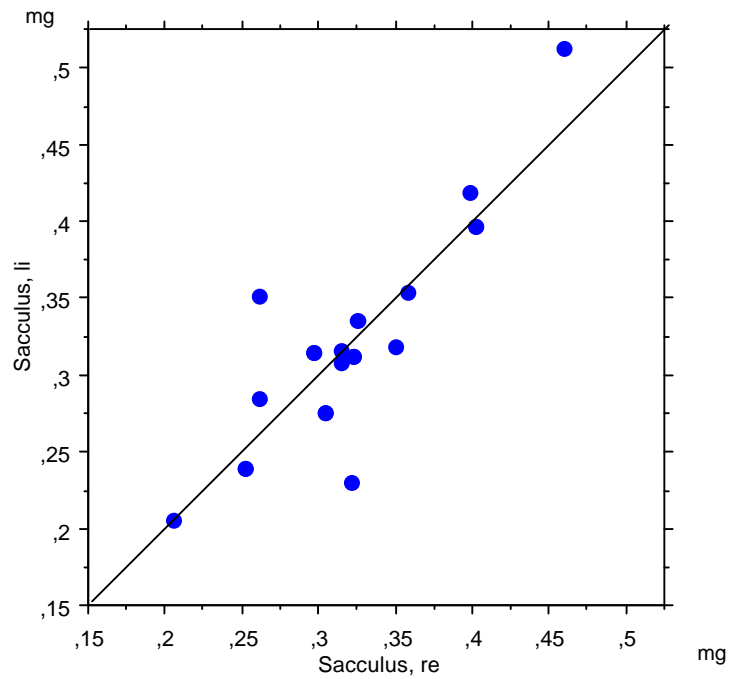


Abb.: Streudiagramm der Masse der Otolithen des Sacculus bei der Sumatra-Barbe

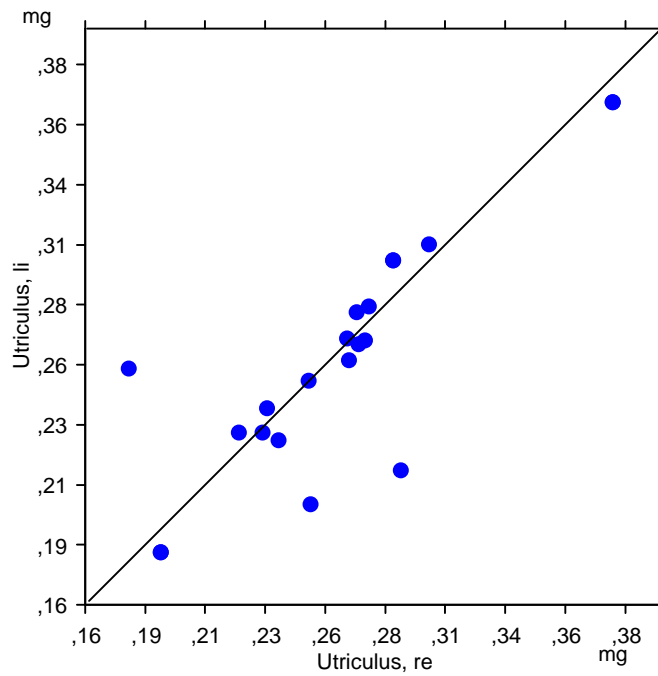


Abb.: Streudiagramm der Masse der Otolithen des Sacculus bei der Sumatra-Barbe

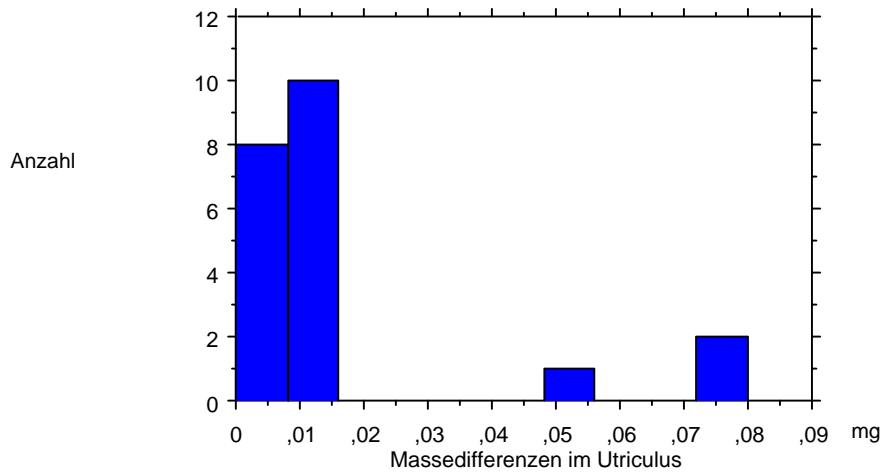


Abb.: Säulendiagramm der Differenz der Otolithenmasse im Sacculus der Sumatra-Barbe

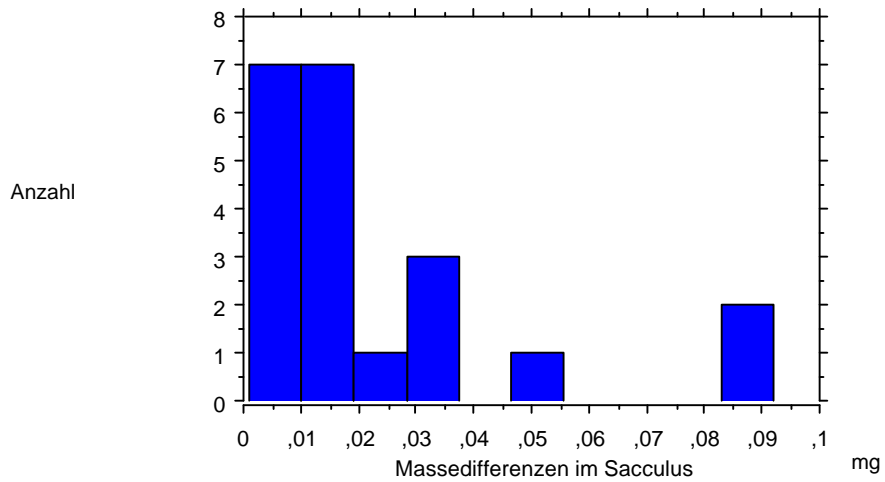


Abb.: Säulendiagramm der Differenz der Otolithenmasse im Utriculus der Sumatra-Barbe